

1. まえがき 前報¹⁾で、セメントの種類、スランプ、水セメント比、防錆剤の有無、鉄筋の種類、かぶりを実験要因として製作した鉄筋コンクリート供試体を、材令28日まで海水中に浸漬した状態で定電流陽分極試験を行ない、鉄筋の腐食抑制作用の指標として陽分極電位が+500mV·SCEに達する時の陽極電流密度をデータとして解析した結果、混合セメントがよく、またスランプと水セメント比の小さな密度なコンクリートの方が鉄筋の腐食抑制作用が高いことを電気化学的に確認できましたと報告した。しかし、この実験では、材令28日まで海水中に浸漬した状態で試験したので、鉄筋の近傍にはまだ海水塩分がほとんど浸透していないこともあって、防錆剤やかぶりの効果が有意とならず、また亜鉛めっき鉄筋の防食効果を数量的に把握することができなかった。されば、+500mV·SCEという陽分極電位で判定するのは分極が大き過ぎるという問題も有していました。

今回は、あらかじめ塩分を混入した同様な供試体を作製し、材令28日まで海水中に浸漬した状態で定電流陽および陰分極試験を行ない、鉄筋の腐食抑制作用の指標を若干改善した方法でデータをとって解析したものである。

2. 実験の要因とその水準 実験の要因と水準を表1に示した。E₂は塩分を0.1%程度含有する海砂を使用した場合、E₃はかなりの塩分を含有する海砂を使用してさらに海水塩分が浸透した場合を想定したものである。実験数はA×B×C×Dの24通り、これらE, F, Gの各水準をできるだけ直交するよう割付けた。鉄筋コンクリート供試体は各実験で4個ずつ作製し、それぞれ2個ずつ定電流陽分極試験と定電流陰分極試験に用いた。

3. 実験に用いた材料 (1) セメント: A₁は中熟熱ポルトランドセメントにフライアッシュを内割り重量が15%混入したものである。 (2) 骨材: 細骨材は富士川産の川砂で粗粒率は2.79、粗骨材はJIS A5005に規定する碎石2005で粗粒率は6.59である。 (3) 減水剤: ポリスチレンN.O.BをC×0.25%使用した。 (4) 防錆剤: 防錆剤を混和する場合は、NR-1900を1kgあたり3l使用した。 (5) NaCl: NaClを添加する場合は、試薬1級のものを用いた。 (6) 鉄筋: JIS G3112に規定するSD30のD10である。黒皮のままのものと亜鉛めっきしたものを用いた。 (7) 養生と分極試験に用いた海水: 神奈川県大磯海岸で採取した天然海水を用いた。

4. 実験の方法 (1) 供試体の作製: あらかじめかぶり

に匹敵する長さだけエポキシ被覆した鉄筋を、図1のよう

に型枠に取付け、コンクリートを2層に棒形振動機で締固めた。材令2日で脱型し、供試体の上下面をエポキシ被覆し、材令4日で21±3°Cの海水中に浸漬した。(2) 電気化学的実験: 図2の装置を用い、供試体を海水に浸漬した状態で定電流陽分極試験と定電流陰分極試験を行なった。電流密度は0.02mA/cm²程度からスタートし、1分ごとに約2倍の電流密度を切換えて行き、分極電位

の測定は電流密度の切換直前(2行なった)。

5. 実験結果の解析と考察 (1) 塩化物含有量: 分極試験の終った供試体の塩化物含有量(NaCl換算)をホルハルト法で測定した結果を図3に示した。E₃はNaCl添加量とほぼ同量の塩化物が検出されたが、E₁とE₂は海水塩分の浸透により増加してほぼ同

表1 実験要因とその水準

要因	水準	水準1	水準2	水準3
A セメントの種類	A ₁	普通ポルト	A ₂ B種高炉	A ₃ 中熟熱
B スランプ	B ₁	5 cm	B ₂	15 cm
C 水セメント比	C ₁	45%	C ₂	65%
D 防錆剤の有無	D ₁	無	D ₂	有
E NaClの添加量	E ₁	0	E ₂	1 kg/m ³
F 鉄筋の種類	F ₁	黒皮	F ₂	亜鉛めっき
G 鉄筋のかぶり	G ₁	4.5 cm	G ₂	7.0 cm

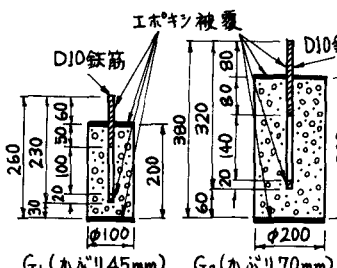


図1 供試体の形状

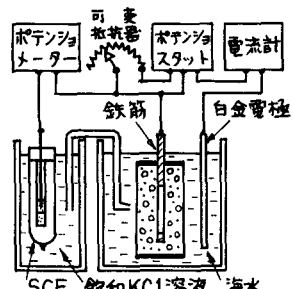


図2 電気化学的実験装置

じとなつた。(2)分極曲線: 定電流陽および陰分極曲線の一例を図4に示した。(3)鉄筋の自然電極電位: 自然電極電位は、 A_1 の平均が-861mV.SCE, A_2 が-808, A_3 が-847, また F_2 の平均が-618, 図3 NaClの添加量と含有量 F_2 が-1059mVで有意となつたが、他の要因は有意とならなかつた。この場合も、混合セメント、特にB種高炉セメントが良好である。

(4)腐食抑制作用の数量的な把握: 図4², 陽・陰分極曲線共にきれいなTafelの線が現われていなが、分極曲線を詳細に検討した結果、自然電極電位より100~400mV程度分極した辺りに、陽・陰分極共に直線部分がわずかながら存在することを見出した。そして、この直線部分を延長して自然電極電位の線と交わる点を一種の腐食電流密度と考えて、それが I_{ac} および I_{cc} として、腐食抑制作用を表わす指標とした。 I_{ac} と I_{cc} は、その値が小さい方が鉄筋の腐食抑制作用が高いことを示すものである。

定電流陽および陰分極試験はそれぞれ供試体2個ずつを実施しているので、 I_{ac} と I_{cc} のそれぞれ2個のデータの平均値の間の相関関係を示したのが図5である。 I_{cc} の方が平均値がやや小さいが、相関係数は $r=0.939$ でありよい相関を示しており、相関係数の検定を行なうと $F_0=(n-2)r^2/(1-r^2)=163.6^{***}$ となって有意性は非常に高い。したがって、 I_{ac} と I_{cc} はほぼ同じ値と考えよし、腐食抑制作用の程度を表わす指標として妥当性を有するものと考えられる。

I_{ac} と I_{cc} の分散分析表を表2、表3に示した。両者共に類似の傾向を示しているが、A, E, F, Gの4要因が有意となつた。要因AとGの効果を示したのが図6²、この場合もB種高炉セメントがよく、かぶりを大きくすると腐食抑制作用が高くなることを示している。要因E以下の効果を示したのが図7²、図3と同様な傾向となり、塩化物含有量がふえると腐食抑制作用が低下するが、いずれの場合も亜鉛めっき鉄筋の方が防食性が高いことを示している。

要因Dの効果が有意とならなかつたが、要因Eとの関連について図示したのが図8である。防錆剤は塩化物含有量が少ない場合には効果があるが、塩化物含有量が多くなると効果がなくなることを示しているものと考えられる。

前報で有意となつたBとCの要因は、今回モーダルデータはスランプと水セメント比の小さい方が腐食抑制作用の高い傾向を示しているが、有意となるには至らなかつた。これは、NaClの添加といつて効果の大きい実験要因を組込んだこと、実験数が少ないと、

などが影響しているものと考えられる。

1)青戸 章: 海水浸漬したコンクリート中の鉄筋の腐食に関する電気化学的実験、土木学会論文報告集、No.258, 1976.12, pp.95~98

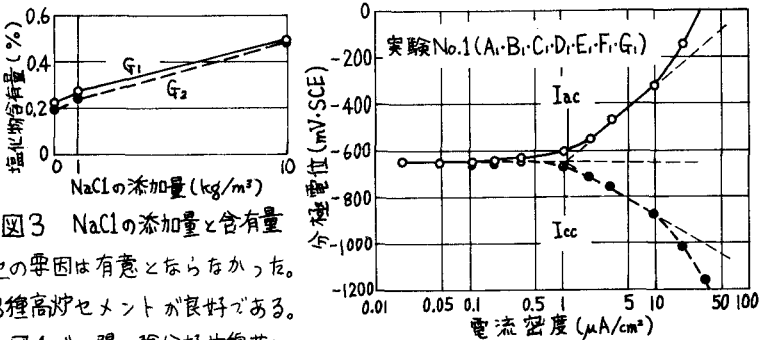


図4 定電流分極曲線の一例

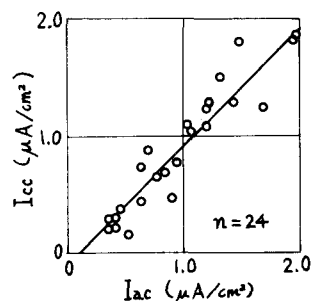


図5 I_{ac} と I_{cc} の相関

表2 I_{ac} の分散分析表

要因	df	ss	ms	F
A	2	1.149	0.575	6.19***
B	1	0.035	0.035	0.37
C	1	0.075	0.075	0.80
D	1	0.010	0.010	0.11
E	2	5.365	2.682	28.88***
F	1	0.544	0.544	5.86**
G	1	0.768	0.768	8.26**
誤差	38	3.530	0.093	-
計	47	11.475	-	-

*は5%, **は2.5%, ***は1%, ****は0.5%で有意

表3 I_{cc} の分散分析表

要因	df	ss	ms	F
A	2	0.657	0.328	4.21**
B	1	0.000	0.000	0.00
C	1	0.060	0.060	0.77
D	1	0.221	0.221	2.84
E	2	6.312	3.156	40.50***
F	1	1.421	1.421	18.24***
G	1	2.009	2.009	25.78***
誤差	38	2.962	0.078	-
計	47	13.643	-	-

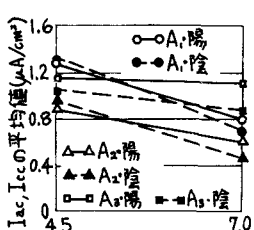


図6 要因AとGの関係

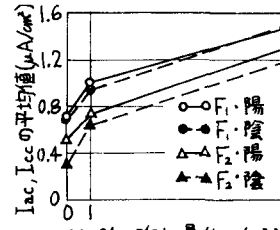


図7 要因EとFの関係

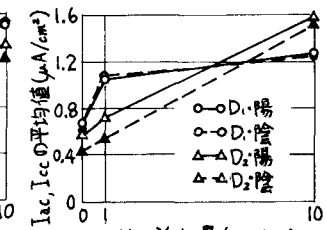


図8 要因DとEの関係